

Bigravité, modèle bimétrique d'univers Interprétation du phénomène de l'accélération cosmique

Jean-Pierre Petit et Gilles d'Agostini

jppetit1937@yahoo.fr

Colloque International sur les Techniques Variationnelles (CITV) août 2007

Référence arXiv : <http://arxiv.org/abs/0712.0067>

Résumé :

On propose une description bimétrique de l'univers, qui rend compte de l'accélération déduite des observations optiques des objets à grands redshifts, jusqu'ici imputée à *une mystérieuse énergie noire*, répulsive, dont on ignore la nature. Le modèle identifie celle-ci à un ensemble de particules dotées de masses et d'énergies négatives. Emettant des photons d'énergie négative, ces particules de masse négative ne sont pas optiquement perceptibles à l'aide de nos instruments d'optique.

1 – Introduction

Pendant de nombreuses années les astrophysiciens et spécialistes de cosmologie s'efforçaient de déterminer lequel des trois modèles de Friedman, solutions de l'équation d'Einstein, cadrait avec les observations. Avec le temps un consensus général s'était établi pour conclure que dans l'équation d'Einstein la constante cosmologique Λ devait être nulle. Ainsi le modèle cosmologique était-il censé découler de l'équation de Friedman :

(1)

$$R^2 R'' + a^2 = 0$$

où la dérivée seconde de $R(t)$ ne pouvait être que négative. Or les mesures effectuées sur les supernovae distantes firent état d'une accélération de l'expansion cosmique, d'un R'' redevenant positif pour les grands redshifts, les distances importantes. Aujourd'hui les spécialistes s'accordent à penser que la dynamique cosmique dépend de trois constituants :

- Matière visible : 4 %
- Matière sombre (attractive) : 22 %
- Energie noire (répulsive) : 74 %

C'est ce dernier composant, dont l'existence avait été négligée jusqu'ici, qui pourrait alors rendre compte de cette accélération de l'expansion cosmique, associée à des forces *répulsives*.

Il serait possible d'obtenir un tel effet en supposant que l'univers contienne :

- Des particules dotées d'une masse non nulle, positive et d'énergie également positive.
- De particules de masse nulle, photons à énergie positive .
- Des particules dotées d'une masse non nulle, négative et d'énergie également négative.
- De particules de masse nulle, photons à énergie négative .

La théorie des groupes prévoit cela de longue date. La dynamique du point matériel relativiste est associée au groupe dynamique de Poincaré, lequel est construit à partir du groupe de Lorentz. Si Γ est la matrice de Gramm :

(2)

$$\Gamma = \begin{bmatrix} 1 & 0 & 0 & 0 \\ 0 & -1 & 0 & 0 \\ 0 & 0 & -1 & 0 \\ 0 & 0 & 0 & -1 \end{bmatrix}$$

Le groupe de Lorentz peut être représenté par les matrices L de format (4,4) telles que :

(3)

$${}^t L \Gamma L = \Gamma$$

Si C est le vecteur translation spatio-temporelle :

(4)

$$C = \begin{bmatrix} \Delta t \\ \Delta x \\ \Delta y \\ \Delta z \end{bmatrix}$$

Le groupe de Poincaré correspond aux matrices :

(5)

$$\begin{bmatrix} L & C \\ 0 & 1 \end{bmatrix}$$

Le groupe de Lorentz possède quatre composantes connexes. En reprenant une terminologie empruntée à la référence [1] les deux premières forment le sous-groupe *orthochrone* et n'inversent pas la coordonnée de temps. Les deux secondes constituent le sous-ensemble *antichrone* et ses composantes inversent le temps. Le groupe de Poincaré, de dimension dix, hérite de cette propriété et possède aussi quatre composantes connexes. Appelons L_0 les

matrice du *sous-groupe orthochrone* du groupe de Lorentz. On appelle traditionnellement groupe le Poincaré *restreint* l'ensemble des matrices construites à partir de la composante neutre L_n du groupe de Lorentz :

(5bis)

$$\begin{bmatrix} L_n & C \\ 0 & 1 \end{bmatrix}$$

Ecrivons la matrice du son sous-groupe orthochrone du groupe de Poincaré :

(6)

$$\begin{bmatrix} L_o & C \\ 0 & 1 \end{bmatrix}$$

Le groupe de Poincaré complet peut alors s'écrire :

(7)

$$\begin{bmatrix} \lambda L_o & C \\ 0 & 1 \end{bmatrix} \quad \text{avec } \lambda = \pm 1$$

Dans la référence [1] J.M.Souriau a construit l'action coadjointe du groupe de Poincaré sur son espace des moments, qui possède le même nombre de dimensions que le groupe. Il écrit ce moment en formant avec quatre de ses composantes le vecteur énergie-impulsion P :

(8)

$$P = \begin{bmatrix} E \\ p_x \\ p_x \\ p_x \end{bmatrix}$$

et en regroupant les six dernières composantes en formant une matrice antisymétrique M . Souriau écrit alors le moment du groupe de Poincaré :

(9)

$$J = \{ M, P \}$$

L'action coadjointe du groupe sur son Algèbre-de-Lie fournit alors :

(10)

$$P' = \lambda L_o P$$

(11)

$$M' = L_o M {}^t L_o + (C {}^t P {}^t L_o - L_o P {}^t C)$$

On retrouvera ce résultat dans la référence [1], page 198. Sous cette forme on constate immédiatement que les composantes antichrones du groupe de Poincaré transforment tout mouvement *orthochrone* (correspondant à un ensemble $\{ M, P \}$ des composantes du moment) à énergie positive en mouvement *antichrone*, à énergie négative. Comme le remarquait l'auteur du livre Structure des Systèmes dynamiques, si l'on souhaite éviter les problèmes posés par les particules à énergie (et masse) négatives on peut décider de limiter le groupe dynamique des points matériels relativistes au groupe de Poincaré restreint.

2) Un monde peuplé de particules à énergie positive et de particules à énergie négative

Mais aujourd'hui la nécessité apparaît de prendre en compte des particules de masse et d'énergie négative, ce qui implique le recours au groupe de Poincaré *complet*, doté de ses composantes orthochrones et antichrones.

Notons que les composantes antichrones du groupe transforment également les mouvements du photon orthochrones, à énergie positive, en mouvements antichrones, à énergie négative.

On peut supposer que des observateurs, ou instruments de mesure, constitués de particules possédant une masse et une énergie positives ne sont pas en mesure de capter des photons d'énergie négative et qu'inversement des observateurs ou instruments de mesure constitués de particules de masse et d'énergie négatives ne sont pas en mesure de capter les photons à énergie positive.

Dans cette perspective les deux contenus cosmiques, à énergie positive et à énergie négative, ne peuvent interagir par le biais d'ondes électromagnétiques. Concrètement ceci signifie que si notre univers contient des particules de masse et d'énergie négatives nous ne pouvons pas les voir ni obtenir d'images d'elles, par des moyens optiques, à l'aide de nos télescopes, quelle que soit la fréquence envisagée.

3) La question de l'antimatière

Il est possible de considérer que les particules d'antimatière correspondent à d'autres types de mouvements du point matériel relativiste. On sait qu'on peut géométriser la charge électrique q , faire d'elle une composante supplémentaire du moment en réalisant une extension du groupe de Poincaré. En introduisant un paramètre supplémentaire ν on pourra traduire, tel qu'introduit dans la référence [2], chapitre 5, page 413 le fait que l'inversion de la cinquième dimension, de Kaluza, s'accompagne de l'inversion de la charge. Introduisons le quadrivecteur

(12)

$$\xi = \begin{bmatrix} t \\ x \\ y \\ z \end{bmatrix}$$

et le pentavecteur :

(13)

$$\begin{bmatrix} \zeta \\ \xi \end{bmatrix}$$

où ζ représente la dimension additionnelle, de Kaluza, nous traduirons cette propriété en introduisant le groupe à quatre composantes connexes :

(14)

$$\begin{bmatrix} \zeta' \\ \xi' \\ 1 \end{bmatrix} = \begin{bmatrix} \nu & 0 & \nu \phi \\ 0 & L_o & C \\ 0 & 0 & 1 \end{bmatrix} \times \begin{bmatrix} \zeta \\ \xi \\ 1 \end{bmatrix} = \begin{bmatrix} \nu \zeta + \nu \phi \\ L_o \xi + C \\ 1 \end{bmatrix}$$

Le moment du groupe comprend 11 composantes :

(15)

$$J = \{ q, M, P \}$$

Où q est la charge électrique et l'action du groupe sur son espace du moment fournit alors :

(16)

$$q' = \nu q$$

(17)

$$P' = L_o P$$

(18)

$$M' = (L_o M {}^t L_o) + (C {}^t P {}^t L_o) - (L_o P {}^t C)$$

Si en partant du mouvement d'un point matériel supposé correspondre à celui d'une particule de matière de masse et d'énergie positive, l'action d'un élément ($\nu = -1$) du groupe inversera la dimension de Kaluza et la charge et ce mouvement deviendra celui d'une particule d'antimatière. Comme cette action n'affecte pas le quadrivecteur P on en déduit que l'antimatière possède une énergie et une masse positive.

3) De l'antimatière à énergie négative

Si nous décidons que notre physique, que la dynamique du point matériel relativiste dépendent du groupe dynamique de Poincaré restreint, ou du sous-groupe orthochrone du groupe de Poincaré alors l'univers n'est constitué que de particules dont la masse et l'énergie sont de même signe (positif).

Si nous procédons à l'extension du groupe comme ci-dessus, en introduisant une dimension additionnelle ζ et en doublant le nombre des composantes, qui passe de deux à quatre, nous obtenons un univers peuplé de matière et d'antimatière.

Si, dans le groupe ci-dessus nous remplaçons le groupe de Lorentz restreint à ses composantes orthochrones par le groupe de Lorentz complet, nous obtiendrons un groupe à huit composantes connexes avec six types de particules :

- *Particules de matière d'énergie et de masse positives.*
- *Particules d'antimatière d'énergie et de masse positives.*
- *Photons d'énergie positive (le photon est sa propre antiparticule)*

- *Particules de matière d'énergie et de masse négatives.*
- *Particules d'antimatière d'énergie et de masse négative.*
- *Photons d'énergie négative (le photon est sa propre antiparticule)*

En combinant de la manière suivante (arbitrairement, il est vrai) les transformations d'inversion d'espace, de temps et de charge on peut écrire :

(19)

$$\begin{bmatrix} \lambda v & 0 & \lambda v \phi \\ 0 & \lambda L & C \\ 0 & 0 & 1 \end{bmatrix}$$

L'action du groupe sur son espace du moment s'écrira alors :

$$q' = \lambda v q$$

$$P' = \lambda L_0 P$$

$$M' = L_0 M {}^t L_0 + (C {}^t P {}^t L_0 - L_0 P {}^t C)$$

On notera alors que l'inversion du signe de λ entraîne une inversion de la charge électrique, du temps et de l'espace, autrement dit une CPT-symétrie.

4) Construction d'une interaction entre particules à énergie positive et particules à énergie négative. Configuration bimétrique.

En optant pour le groupe de Poincaré complet nous avons obtenu « une seconde espèce de matière », invisible. Pour que celle-ci puisse prétendre posséder les propriétés de l'énergie noire il faudrait disposer de lois d'interaction, de nature gravitationnelle, donnant à cette matière-énergie noire un caractère répulsif

L'équation d'Einstein s'écrit

(20)

$$S = \chi T - g \Lambda$$

S est un tenseur géométrique, ou tenseur d'Einstein $S(g)$ construit à partir de la métrique g , associé à une variété quadridimensionnelle. T est une densité tensorielle qui est censée représenter le contenu de l'univers en énergie-matière et χ est la constante d'Einstein :

(21)

$$\chi = -\frac{8\pi G}{c^2}$$

Λ est la constante cosmologique.

g appartient à un espace fonctionnel qu'on appelle parfois *hyperspace*. Le tenseur d'Einstein est, au signe près le gradient de la fonctionnelle de Hilbert :

(22)

$$H(g) = \int_M (aR(g) + b) dV_g$$

a et b sont des constantes et R la courbure scalaire. Cette fonctionnelle est invariante par difféomorphisme. De la constante a dérive la constante d'Einstein $\chi = 1/a$, tandis que b

fournit la constante cosmologique $\Lambda = b/2a$. Décidons de prendre cette dernière nulle, ce qui revient à prendre $b = 0$. Par la suite nous n'en aurons pas besoin. On se limite donc à :

(23)

$$H(g) = \int_M a R(g) dV_g$$

On construit le tenseur d'Einstein S en tant que gradient de cette fonctionnelle dans l'espace des métriques. En l'associant à une densité tensorielle T on obtient l'équation :

(24)

$$S = \chi T$$

où l'inconnue est la métrique g et où les données du problème correspondent à la donnée de cette densité tensorielle T .

Nous allons supposer que l'univers est une variété quadridimensionnelle M_4 munie de deux métriques, que nous appellerons g^+ et g^- .

Nous supposons que les particules à énergie positive suivent les géodésiques déduites de la métrique g^+ , tandis que les particules d'énergie négative cheminent selon des trajectoires géodésiques déduites de la métrique g^- .

Il est géométriquement impossible à une particule d'énergie positive de cheminer selon une géodésique issue de la métrique g^- , et inversement à une particule d'énergie négative de cheminer selon une géodésique issue de la métrique g^+ .

A partir de la métrique g^+ nous pouvons construire un tenseur géométrique S^+ , et à partir de la métrique g^- un tenseur géométrique S^- . Reprenons l'équation de champ d'Einstein, que nous écrivons :

(25)

$$S^+(g^+) = \chi T$$

T est une densité tensorielle qui contient les données du problème, la densité d'énergie-matière au point considéré. Celle-ci est alors la conjugaison deux contributions.

ρ^+ désignera la densité de matière de masse positive.

De manière à cadrer avec les travaux antérieurement publiés (références [7], [8], [9], [10], [11],) nous déciderons de désigner par ρ^- la *valeur absolue* de la densité de matière de masse négative. Même chose pour les termes de pression qui interviennent dans la densité tensorielle de cette seconde matière, ce qui fait que nous désignerons par T^- la *valeur absolue* de la densité tensorielle d'énergie-matière correspondant à une énergie et une masse négatives. On écrira ainsi :

(26)

$$S^+(g^+) = \chi (T^+ - T^-)$$

Nous allons créer un couplage entre ces deux métriques, que nous appellerons alors *conjuguées*. Reprenons le cheminement qui nous avait amené à la construction de l'équation d'Einstein. Nous écrivons la fonctionnelle de Hilbert :

(27)

$$H^+(g) = \int_M a R^+(g) dV_g$$

d'où dérive le tenseur géométrique $S^+(g^+)$, qui est le gradient de cette fonctionnelle dans l'espace fonctionnel des métriques, dans l'hyperespace. Nous supposons que le tenseur géométrique

$$S^-(g^-)$$

Dérive de la fonctionnelle de Hilbert :

(28)

$$H^-(g) = \int_M a R^-(g) dV_g = -H^+(g)$$

Comme le tenseur géométrique est le gradient de la fonctionnelle dans l'espace des métriques, ceci entraîne que

(29)

$$S^+(g^+) = -S^-(g^-)$$

Les deux métriques ne sont alors pas indépendantes. Nous les appellerons *métriques conjuguées*. Si on connaît la métrique g^+ on peut en déduire la métrique g^- . On peut écrire l'ensemble des deux équations (26) et (29) selon :

(30)

$$S^+(g^+) = \chi(T^+ - T^-)$$

(31)

$$S^-(g^-) = \chi(T^- - T^+)$$

Et c'est sous cette forme que ce système d'équations de champ couplées avait été pour la première fois présenté dans la revue *Nuevo Cimento* en 1994 [10].

5) Approximation newtonienne

C'est cette approximation qui va nous permettre de comprendre la dynamique qui est découlée de ce système. Nous allons développer ces équations en série en partant d'une situation à l'ordre zéro où les seconds membres sont nuls et où les métriques, supposées stationnaires, sont Lorentziennes. Nous supposons que les courbures sont faibles et que les vitesses d'agitation dans les deux « fluides cosmiques » sont faibles devant la vitesse de la lumière. Nous aurons :

(32)

$$g^+ = \eta^+(\text{Lorentz}) + \varepsilon \gamma^+$$

(33)

$$g^- = \eta^-(\text{Lorentz}) + \varepsilon \gamma^-$$

où ε est un petit paramètre. On effectue les développements en série des deux métriques en suivant la méthode classique. Le calcul se trouve dans tous les ouvrages traitant de Relativité Générale. Dans la référence [12], chapitre 4, section 4.3. Au résultat, on obtient, pour les

mouvements des particules de masse et énergie positives, selon les géodésiques de la métrique g^+ :

(34)

$$\frac{d^2 x^i}{dt^2} = -c^2 \varepsilon \frac{\partial \gamma^{+oo}}{\partial x^i}$$

et pour les mouvements des particules de masse et énergie positives, selon les géodésiques de la métrique g^- :

(35)

$$\frac{d^2 x^i}{dt^2} = -c^2 \varepsilon \frac{\partial \gamma^{-oo}}{\partial x^i}$$

Ce qui amène à définir les potentiels (gravitationnels) réglant ces mouvements :

(36)

$$\Psi^+ = \frac{c^2}{2} \varepsilon \gamma^{+oo}$$

(37)

$$\Psi^- = \frac{c^2}{2} \varepsilon \gamma^{-oo}$$

Dans l'approximation newtonienne, la densité tensorielle se réduit à un unique terme T^{oo}

(38)

$$T = T^+ - T^- \cong \begin{bmatrix} (\rho^+ - \rho^-) & 0 & 0 & 0 \\ 0 & 0 & 0 & 0 \\ 0 & 0 & 0 & 0 \\ 0 & 0 & 0 & 0 \end{bmatrix}$$

Les développements en série fournissent :

(39)

$$-\varepsilon \left(\frac{\partial^2 \gamma^{+oo}}{\partial x^2} + \frac{\partial^2 \gamma^{+oo}}{\partial y^2} + \frac{\partial^2 \gamma^{+oo}}{\partial z^2} \right) = \chi (\rho^+ - \rho^-)$$

(40)

$$-\varepsilon \left(\frac{\partial^2 \gamma^{-oo}}{\partial x^2} + \frac{\partial^2 \gamma^{-oo}}{\partial y^2} + \frac{\partial^2 \gamma^{-oo}}{\partial z^2} \right) = \chi (\rho^- - \rho^+)$$

Compte tenu de (36), (37) nous retrouvons des équations de Poisson couplées :

(41)

$$\frac{\partial^2 \Psi^+}{\partial x^2} + \frac{\partial^2 \Psi^+}{\partial y^2} + \frac{\partial^2 \Psi^+}{\partial z^2} = 4 \pi G (\rho^+ - \rho^-)$$

(42)

$$\frac{\partial^2 \Psi^-}{\partial x^2} + \frac{\partial^2 \Psi^-}{\partial y^2} + \frac{\partial^2 \Psi^-}{\partial z^2} = 4 \pi G (\rho^- - \rho^+)$$

Ce qui nous donne la relation extrêmement simple :

(43)

$$\Psi^- = - \Psi^+$$

Voici comment les particules de masse positive et de masse négatives interagissent :

- Les particules de masse positive s'attirent selon la loi de Newton
- Les particules de masse négative s'attirent selon la loi de Newton
- Les particules de masse ayant des signes opposés se repoussent mutuellement selon « anti-Newton ».

Résultat qu'on aurait pu obtenir à partir de l'expression :

(44)

$$F = - \frac{G m m'}{d^2}$$

L'avantage de cette description de « l'énergie noire » est que sa nature est assez simple. Ses constituant sont simplement les mêmes que ceux de la matière, mais dotée d'une masse et d'une énergie négatives. Ces particules ne sont plus « exotiques ». Il s'agit simplement :

- *De protons et d'antiprotons de masse et d'énergie négatives*
- *De neutrons et d'antineutrons de masse et d'énergie négatives*
- *D'électrons et d'anti-électrons de masse et d'énergie négatives*
- *De photons d'énergie négative*

6) De l'accélération cosmique constatée.

En cosmologie, les observations font état d'une accélération de l'expansion du cosmos pour les forts redshifts. Pouvons nous parvenir à un tel résultat en identifiant l'énergie noire à de l'énergie-matière négative ? Pour ce faire nous allons devons construire un modèle cosmologique fondé sur une solution sous forme d'un couple de métriques conjuguées (g^+ , g^-). Nous allons prendre des métriques riemaniennes, de signature (+ - - -) en adjoignant l'hypothèse d'homogénéité et d'isotropie. Ceci nous amène à envisager des métriques du type de Robertson-Walker :

(45)

$$ds^2 = c^2 dt^2 - R_{(t)}^2 \frac{1}{1 + \frac{k}{4} u^2} (du^2 + u^2 d\theta^2 + u^2 \sin^2 \theta d\varphi^2)$$

Notre univers est *bimétrique*. Des points de cette variété peuvent être repérés à l'aide d'un système de coordonnées, arbitraire. Les anglo-saxons emploient les expressions

- *time-marker*
- *space markers*

le premier pour désigner la coordonnée de temps et les trois autres des coordonnées d'espace. On peut considérer ces grandeurs comme de simples nombres, ou angles et écrire :

$$[\tau , u , \theta , \varphi]$$

Ces coordonnées sont le *point commun* (stricto sensu) aux deux ensembles de points-masse, correspondant aux énergies positives et aux énergies négatives. Considérons deux points A et B, de coordonnées :

$$[u_A , \theta_A , \varphi_A] \quad \text{et} \quad [u_B , \theta_B , \varphi_B]$$

Si ces deux ensembles de nombres restent constants au cours du temps, ces points seront comobiles.

Nous sommes dans une situation d'isotropie et d'homogénéité. On peut relier les points A et B par un arc géodésique et il y a tout lieu de penser que les points des arcs de ces courbes, calculées à partir des métriques g^+ et g^- coïncideraient. Mais les longueurs diffèrent, dans la mesure où les scales factors R^+ et R^- ne seraient plus égaux.

Dans un univers en expansion, ou simplement en évolution, ces scales factors vont varier, selon des lois :

$$R^+(\tau) \quad \text{et} \quad R^-(\tau)$$

On aura deux mesures de l'arc AB et deux longueurs différentes, selon qu'on effectue la mesure dans le monde des énergies et masses positives, avec la métrique g^+ ou dans le monde des énergies et des masses négatives, avec la métrique g^- .

- Selon la première mesure, la longueur de l'arc AB variera comme $R^+(\tau)$
- Selon la seconde mesure, la longueur de l'arc AB variera comme $R^-(\tau)$

Considérons maintenant un boule B_3 , bordée par une sphère S_2 . Encore une fois, nous aurons deux mesures possibles, pour l'aire de la sphère S_2 ou le volume de la boule B_3 selon la métrique à laquelle on se réfère.

- En se référant à la métrique g^+ l'aire de la sphère S_2 variera comme R^{+2} et le volume de la boule B_3 comme R^{+3}
- En se référant à la métrique g^- l'aire de la sphère S_2 variera comme R^{-2} et le volume de la boule B_3 comme R^{-3}

ρ^+ et ρ^- représentent les masses volumiques des deux espèces. En exprimant la conservation de la masse nous écrivons

(46)

$$\rho^+ R^{+3} = cst$$

(47)

$$\rho^- R^{-3} = cst$$

Si nous introduisons deux métrique de Robertson Walker dans les équations de champ, nous aboutirons au système des quatre équations suivant, en optant d'emblée pour un univers de » poussière, où les termes de pression peuvent être négligés :

(48)

$$\frac{3(R^{+'})^2}{c^2 R^+} + \frac{3k}{R^{+2}} = \frac{8\pi G}{c^2} (\rho^+ - \rho^-)$$

(49)

$$\frac{2R^{+'''}}{c^2 R^+} + \frac{(R^{+'})^2}{c^2 R^{+2}} + \frac{k}{R^{+2}} = 0$$

(50)

$$\frac{3(R^{-'})^2}{c^2 R^-} + \frac{3k}{R^{-2}} = \frac{8\pi G}{c^2} (\rho^- - \rho^+)$$

(51)

$$\frac{2R^{-''}}{c^2 R^-} + \frac{(R^{-'})^2}{c^2 R^{-2}} + \frac{k}{R^{-2}} = 0$$

En faisant jouer la conservation des masses on obtient :

(52)

$$R^{+2} R^{+'''} + 1 - \frac{R^{+3}}{R^{-3}} = 0$$

(53)

$$R^{-2} R^{-''} + 1 - \frac{R^{-3}}{R^{+3}} = 0$$

ou :

$$R^{+'''} = \frac{1}{R^{+2}} \left(\frac{R^{+3}}{R^{-3}} - 1 \right)$$

$$R^{-''} = \frac{1}{R^{-2}} \left(\frac{R^{-3}}{R^{+3}} - 1 \right)$$

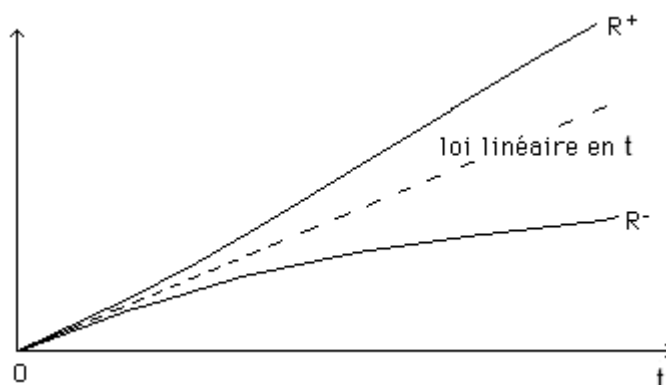
Système qui offre la solution triviale :

(54)

$$R^+ = R^- = a t$$

Solution instable. Si $R^+ > R^-$ – alors $R^{+'''} > 0$ et $R^{-''} < 0$

Nous obtenons un effet d'accélération de l'expansion pour la population de masse et d'énergie positives. Phénomène inverse pour la population de masse et d'énergie négatives.



Evolution des facteurs d'échelle

Nous devons nous souvenir que ce que nous mesurons c'est un redshift lié à la dérivée du facteur d'échelle R . Ce qui compte, c'est de rendre compte des observations. Les mesures de vitesse de récession, déduites des redshifts, pour les objets les plus lointains font état d'une accélération de l'expansion cosmique imputée à une mystérieuse énergie noire. Le présent modèle propose une interprétation quant à la nature de ce composant du cosmos.

Conclusion

Le présent travail, fondé sur une description bimétrique de l'univers rend compte de l'accélération de la partie de l'univers accessible aux observations optiques, correspondant aux redshifts élevés, jusqu'ici imputée à *une mystérieuse énergie noire*, répulsive, dont on ignore la nature. Ce modèle donne une interprétation du phénomène en identifiant celle-ci à un ensemble de particules dotées de masses et d'énergies négatives. Emettant des photons d'énergie négative, ces particules de masse négative ne sont pas optiquement perceptibles à l'aide de nos instruments d'optique.

Il reste que le modèle fournit, pour la prime enfance de l'univers une loi commune d'évolution linéaire des facteurs d'échelle R^+ et R^- fonction du temps. Tout ceci sera révisé dans un article suivant.

Références

- [1] J.M.Souriau, Structure des Systèmes Dynamiques, Editions Dunod, 1970. English translation in : Structure of Dynamical Systems, Birkhauser Ed. 1999
- [2] J.M.Souriau : Géométrie et relativité. Hermann Ed. 1964
- [3] A.Sakharov : "CP violation and baryonic asymmetry of the Universe". ZhETF Pis'ma **5** : 32-35 (1967) : Traduction JETP Lett. **5** : 24-27 (1967)
- [4] A.Sakharov : "A multisheet Cosmological Model" Preprint Institute of Applied Mathematics, Moscow 1970
- [5] A.Sakharov : "Cosmological Model of the Universe with a time-vector inversion". ZhETF **79** : 689-693 (1980) : Traduction in Sov. Phys. JETP **52** : 349-351 (1980)
- [6] Linde. Particle Physics and Inflationary Cosmology, Harwood, Switzerland, 1990
- [7] J.P.Petit : "Univers énantiomorphes à flèches du temps opposés", CRAS du 8 mai 1977, t.285 pp. 1217-1221
- [8] J.P.Petit : "Univers en interaction avec leur image dans le miroir du temps". CRAS du 6 juin 1977, t. 284, série A, pp. 1413-1416
- [9] J.P.Petit : Twin Universe Cosmology : Astronomy and Space Science 226 : 273-307, 1995
- [10] J.P.Petit : The missing mass problem. Il Nuovo Cimento B Vol. 109 July 1994, pp. 697-710
- [11] J.P. Petit, P.Midy & F.Landsheat : Twin matter against dark matter. Intern. Meet. on Atrophys. and Cosm. "Where is the matter ? ", Marseille 2001 june 25-29.
- [12] R.Adler, M.Bazin & M. Schiffer : Introduction to general relativity, 1965-1975, Mac Graw Hill Ed.

Appendice : Programme du CITV 2007 :

- 1 Pascal Adjamagbo « *Symplectic geometry with positive characteristic* »
- 2 Kossi Atchonouglo « *Special, symmetric, tridiagonal matrix. Calculation of the eigenvalues and eigenvectors* »
- 3 Dominique Chevallier « *Holonomy group for dynamical systems* »
- 4 Dan Dimitriu « *Rigid bodies dynamics* »
- 5 Boris Kolev « *Introduction to Ricci flow* »
- 6 Boris Kolev « *Structure equations for Killing tensors* »
- 7 Jean-Pierre Petit « *Negative mass and energy. Complete Poincaré group* »
- 8 Jean-Pierre Petit « *MHD : The Z-machine* »
- 9 Jean-Pierre Petit « *The trouble with astrophysics* »
- 10 Michel Petitot « *Equivalence problems and groupoids* »
- 11 Géry de Saxcé « *Path integral* »
- 12 Gijs Tuynman « *To cut and to glue* »